

PACS: 42.70.Qs, 73.21.Cd, 78.67.Pt, 71.36.+c

В.В. Румянцев, С.А. Федоров, К.В. Гуменник, Д.А. Гуров

## СПЕКТР ЭЛЕКТРОМАГНИТНЫХ ВОЗБУЖДЕНИЙ В НЕИДЕАЛЬНОЙ ЦЕПОЧКЕ МИКРОПОР В УСЛОВИЯХ ОДНОРОДНОЙ УПРУГОЙ ДЕФОРМАЦИИ

Донецкий физико-технический институт им. А.А. Галкина

Статья поступила в редакцию 23 ноября 2017 года

*Исследован спектр электромагнитных возбуждений в цепочке микропор. Показано, что в результате однородных упругих деформаций неидеальной 1D-решетки микропор, содержащих квантовые точки, можно добиться необходимого изменения энергетической структуры спектра элементарных возбуждений системы.*

**Ключевые слова:** 1D-решетка микропор-резонаторов, электромагнитные возбуждения, квантовые точки, однородная деформация

### 1. Введение

Возможность получения так называемого «медленного» света [1] имеет большие перспективы применения при создании устройств квантовой обработки оптической информации. Эффект уменьшения групповой скорости продемонстрирован, например, в различных типах твердотельных многослойных полупроводниковых структур [2], а также в системе связанных волноводных оптических резонаторов [3,4]. При этом ключевую роль в уменьшении групповой скорости в фотонных структурах с запрещенной зоной играют так называемые темные и светлые поляритоны, представляющие собой композицию фотонных состояний внешнего электромагнитного поля и макроскопических (когерентных) возмущений двухуровневой атомной среды.

Особую актуальность в настоящее время приобрели исследования в области фотоники несовершенных структур. В частности, работы авторов посвящены изучению дисперсии поляритонных и экситоноподобных электромагнитных возбуждений в неидеальной решетке связанных микрорезонаторов [5–7]. Отметим при этом важность исследований, связанных с модификацией физических свойств материала в результате внешних воздействий (например, упругой деформации [8]), с возможностью контролировать распространение электромагнитных возбуждений в полученных композитных структурах.

Исходя из представлений о неидеальных фотонных решетках, авторы рассмотрели топологически упорядоченную систему пор – туннельно-связанных микрорезонаторов. Выполнено численное моделирование спектра электро-

магнитных возбуждений в неидеальной решетке связанных микропор-резонаторов, содержащих квантовые точки. Показано, что введением в исследуемую систему определенных дефектов и/или в результате управляемого внешнего воздействия можно добиться обусловленных перестройкой исследуемой структуры изменений энергетического спектра элементарных электромагнитных возбуждений и оптических свойств материала.

В данной работе на основе представлений о фотонных структурах [5–7] рассмотрен неидеальный одномерный поляритонный кристалл – цепочка топологически упорядоченных микропор (туннельно-связанных микрорезонаторов), содержащих атомарные кластеры – квантовые точки. Изучены вызванные однородной упругой деформацией данной 1D-структуры особенности спектра поляритонных возбуждений в решетке микропор, содержащей квантовые точки, и экситоноподобных электромагнитных возбуждений в системе микропор без квантовых точек.

## 2. Теоретическая модель

Опираясь на разработанный в [5–7,9] подход, рассмотрим электромагнитные возбуждения в решетке микропор с произвольным числом  $s$  подрешеток. Причем каждый из туннельно-связанных микропор-микрорезонаторов содержит по одной оптической моде. В исследуемом случае упругих деформаций гамильтониан  $\hat{H}(\hat{\varepsilon})$  электромагнитных возбуждений, локализованных в резонаторах, зависит от тензора деформации  $\hat{\varepsilon}$ .

В предположении малой плотности возбужденных состояний элементов в резонаторной и атомарной подсистемах гамильтониан  $\hat{H}(\hat{\varepsilon})$  в одноуровневой модели в приближении Гайтлера–Лондона имеет вид [10]:

$$\hat{H}(\hat{\varepsilon}) = \sum_{\substack{\mathbf{n}, \mathbf{m}, \alpha, \\ \beta, \lambda, \sigma}} D_{\mathbf{n}\alpha, \mathbf{m}\beta}^{\lambda\sigma}(\hat{\varepsilon}) \hat{\Phi}_{\mathbf{n}\alpha\lambda}^+ \hat{\Phi}_{\mathbf{m}\beta\sigma} = \sum_{\substack{\alpha, \beta, \lambda, \\ \sigma, k}} D_{\alpha\beta}^{\lambda\sigma}(\mathbf{k}, \hat{\varepsilon}) \hat{\Phi}_{\alpha\lambda}^+(\mathbf{k}) \hat{\Phi}_{\beta\sigma}(\mathbf{k}), \quad (1)$$

где

$$\begin{aligned} D_{\mathbf{n}\alpha, \mathbf{m}\beta}^{11}(\hat{\varepsilon}) &= \hbar\omega_{\mathbf{n}\alpha}^{at} \delta_{\mathbf{n}\alpha, \mathbf{m}\beta} + V_{\mathbf{n}\alpha, \mathbf{m}\beta}(\hat{\varepsilon}), & D_{\mathbf{n}\alpha, \mathbf{m}\beta}^{22} &= \hbar\omega_{\mathbf{n}\alpha}^{ph} \delta_{\mathbf{n}\alpha, \mathbf{m}\beta} - A_{\mathbf{n}\alpha, \mathbf{m}\beta}(\hat{\varepsilon}), \\ D_{\mathbf{n}\alpha, \mathbf{m}\beta}^{12}(\hat{\varepsilon}) &= D_{\mathbf{n}\alpha, \mathbf{m}\beta}^{21}(\hat{\varepsilon}) = g_{\mathbf{n}\alpha}(\hat{\varepsilon}) \delta_{\mathbf{n}\alpha, \mathbf{m}\beta}, & \hat{\Phi}_{\mathbf{n}\alpha}^{\lambda=2} &= \hat{\Psi}_{\mathbf{n}\alpha}, & \hat{\Phi}_{\mathbf{n}\alpha}^{\lambda=1} &= \hat{B}_{\mathbf{n}\alpha}. \end{aligned} \quad (2)$$

В выражениях (1) и (2)  $\omega_{\mathbf{n}\alpha}^{ph}$  – частота фотонной моды электромагнитного возбуждения, локализованного в  $\mathbf{n}\alpha$ -м узле (резонаторе);  $\hat{\Psi}_{\mathbf{n}\alpha}^+$ ,  $\hat{\Psi}_{\mathbf{n}\alpha}$  – бозе-операторы рождения и уничтожения фотонной моды в узельном представлении;  $\hbar\omega_{\mathbf{n}\alpha}^{at}$  – энергия возбуждения квантовой точки в узле  $\mathbf{n}\alpha$ ;  $\hat{B}_{\mathbf{n}\alpha}$ ,  $\hat{B}_{\mathbf{n}\alpha}^+$  – бозе-операторы рождения и уничтожения этого возбуждения;  $A_{\mathbf{n}\alpha\mathbf{m}\beta}(\hat{\varepsilon})$  – матрица резонансного взаимодействия, характеризующая перекрытие оптических полей резонаторов  $\mathbf{n}\alpha$ -го и  $\mathbf{m}\beta$ -го узлов решетки и, следовательно,

определяющая вероятность перескока соответствующего электромагнитного возбуждения;  $V_{\mathbf{n}\alpha\mathbf{m}\beta}(\hat{\varepsilon})$  – матрица резонансного взаимодействия квантовых точек в узлах  $\mathbf{n}\alpha$  и  $\mathbf{m}\beta$ ;  $g_{\mathbf{n}\alpha}(\hat{\varepsilon})$  – матрица резонансного взаимодействия квантовой точки в узле  $\mathbf{n}\alpha$  с локализованным в нем электромагнитным полем. Индексы  $\lambda, \sigma$  фиксируют наличие или отсутствие (при значении 2) квантовой точки в соответствующей микропоре.

В последнем соотношении равенства (1) (сумма по  $\mathbf{k}$ ) матрицы  $D_{\alpha\beta}^{\lambda\sigma}(\mathbf{k}, \hat{\varepsilon})$  и  $\Phi_{\alpha\lambda}(\mathbf{k})$  имеют вид соответственно:  $D_{\alpha\beta}^{\lambda\sigma}(\mathbf{k}, \hat{\varepsilon}) = \sum_{\mathbf{m}} D_{\mathbf{n}\alpha\mathbf{m}\beta}^{\lambda\sigma}(\hat{\varepsilon}) \exp[i\mathbf{k} \cdot (\mathbf{r}_{\mathbf{n}\alpha} - \mathbf{r}_{\mathbf{m}\beta})]$  и  $\hat{\Phi}_{\alpha\lambda}(\mathbf{k}) = \frac{1}{\sqrt{N}} \sum_{\mathbf{n}} \hat{\Phi}_{\mathbf{n}\alpha\lambda} \exp(-i\mathbf{k} \cdot \mathbf{r}_{\mathbf{n}\alpha})$  ( $N$  – число элементарных ячеек исследуемой решетки). Такое представление матриц оказалось возможным благодаря сохранению трансляционной инвариантности системы при однородных деформациях. Заметим, что волновой вектор  $\mathbf{k}$ , характеризующий собственные состояния электромагнитных возбуждений в исследуемой системе, изменяется в пределах первой зоны Бриллюэна, которая вследствие однородной деформации является функцией тензора деформации  $\hat{\varepsilon}$ .

Расчет собственных значений гамильтониана (1) проведем путем его диагонализации с помощью преобразования Боголюбова–Тябликова [10]. Выполнение указанной процедуры позволяет получить следующее выражение, определяющее спектр элементарных возбуждений  $\Omega(\mathbf{k}, \hat{\varepsilon})$ :

$$\det \left\| D_{\alpha\beta}^{\lambda\sigma}(\mathbf{k}, \hat{\varepsilon}) - \hbar\Omega(\mathbf{k}, \hat{\varepsilon})\delta_{\alpha\beta}\delta_{\lambda\sigma} \right\| = 0. \quad (3)$$

На основе приведенной выше теории рассмотрим подробнее особенности спектра электромагнитных возбуждений в системе микропор, содержащих квантовые точки.

### 3. Результаты и обсуждение

Для конкретизации задачи рассмотрим 1D-решетку микропор в однородной, изотропной среде, находящуюся в условиях напряжений (сжатие или растяжение), направленных вдоль оси цепочки. При однородном деформировании исследуемого массива, которое описывается с помощью тензора деформации  $\hat{\varepsilon}$ , положение каждой микропоры изменяется. Для таких деформаций постоянная  $d(\varepsilon)$  1D-решетки имеет вид

$$d(\varepsilon) = (1 + \varepsilon)d_0, \quad (4)$$

где  $d_0$  – постоянная решетки недеформированной структуры,  $\varepsilon$  – соответствующая компонента тензора  $\hat{\varepsilon}$ . В [11] исследованы экситоноподобные возбуждения в 1D-решетке микропор (без квантовых точек) в условиях однородной упругой деформации. Необходимая в данном случае для получения спектра элементарных возбуждений постоянная  $b(\varepsilon)$  обратной деформированной 1D-решетки находится из очевидного соотношения

$$b(\varepsilon)d(\varepsilon) = 2\pi. \quad (5)$$

Исследуем одноподрешеточную однородно деформированную 1D-систему микропор-резонаторов, содержащих квантовые точки. Предполагается, что в такой 1D-цепочке одинаковые микропоры-резонаторы содержат случайным образом квантовые точки двух типов с концентрациями  $C_C^{(1)}$  и  $C_C^{(2)}$ . Причем эти микропоры-резонаторы также случайным образом удалены на расстояниях между ближайшими соседями либо  $a_1(\varepsilon)$  с концентрацией  $C_T^{(1)}$ , либо  $a_2(\varepsilon)$  с концентрацией  $C_T^{(2)}$ . Расчет поляритонного спектра такой системы проведем, используя приближение виртуального кристалла [12–14] путем диагонализации усредненного гамильтониана (1). В результате вышеуказанной процедуры получаем систему линейных однородных уравнений, условием разрешимости которой является равенство нулю детерминанта:

$$\left\| \begin{array}{cc} \hbar \langle \omega_n^{at}(\varepsilon) \rangle_C + \langle V(k, \varepsilon) \rangle_{C,T} - \hbar \Omega(k, \varepsilon) & \langle g_n(\varepsilon) \rangle_C \\ \langle g_n(\varepsilon) \rangle_C & \hbar \omega^{ph}(\varepsilon) - \langle A(k, \varepsilon) \rangle_T - \hbar \Omega(k, \varepsilon) \end{array} \right\| = 0. \quad (6)$$

Здесь  $\langle \omega_n^{at} \rangle_C = \sum_{\nu=1}^2 \omega_{\nu}^{at} C_C^{\nu}$ ,  $\langle g_n \rangle_C = g^{(1)} C_C^{(1)} + g^{(2)} C_C^{(2)}$ , причем  $C_C^{(1)} + C_C^{(2)} = 1$ , следовательно,

$$C_C^{(1)} = 1 - C_C^{(2)} \equiv C_C;$$

$$\langle V(k) \rangle_{C,T} = \sum_{\nu, \mu=1}^2 V^{\nu\mu}(k, \{C_T\}, \varepsilon) C_C^{\nu} C_C^{\mu},$$

$$V^{\nu\mu}(k, \{C_T\}, \varepsilon) = \sum_m \langle V_{nm}^{\nu\mu}(\varepsilon) \rangle_T \exp[ikr_{nm}(\{C_T\}, \varepsilon)].$$

Аналогично

$$A(k, \{C_T\}, \varepsilon) = \sum_m \langle A_{nm}(\varepsilon) \rangle_T \exp[ikr_{nm}(\{C_T\}, \varepsilon)],$$

где

$$r_{nm}(\{C_T\}, \varepsilon) = d(\{C_T\}, \varepsilon)(n - m) \quad (C_T^{(1)} + C_T^{(2)} = 1, \quad C_T^{(1)} = 1 - C_T^{(2)} \equiv C_T).$$

Угловыми скобками в (6) обозначена процедура конфигурационного усреднения массива микропор по всевозможным вариациям положений микропор  $T$  и составу квантовых точек  $C$ ;  $d(\{C_T\}, \varepsilon)$  – период «виртуальной» одномерной решетки резонаторов, полученный в результате усреднения:  $d(\{C_T\}, \varepsilon) = C_T^{(1)} a_1(\varepsilon) + C_T^{(2)} a_2(\varepsilon)$ .

В приближении ближайших соседей величины  $V(k, \{C_T\}, \varepsilon)$  и  $A(k, \{C_T\}, \varepsilon)$  можно записать в следующем виде:

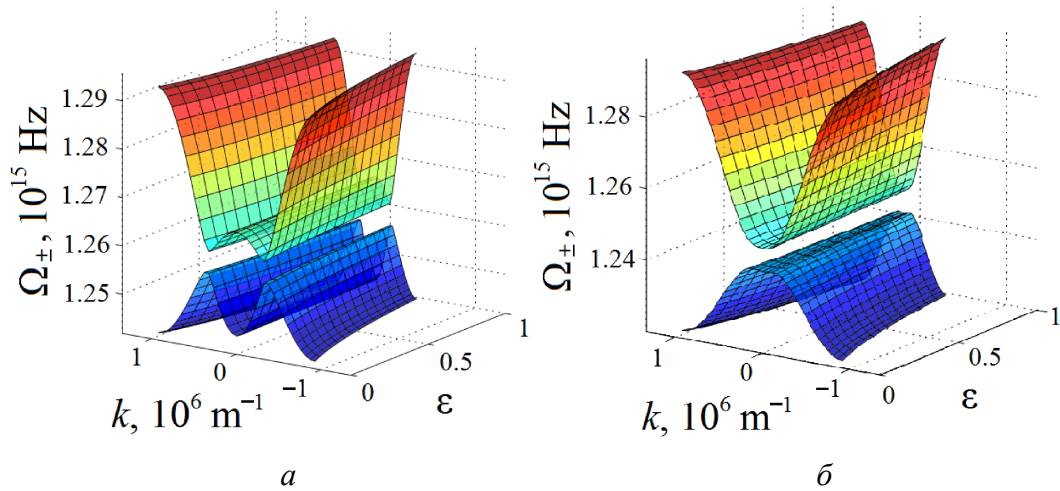
$$\begin{bmatrix} V^{\nu\mu}(k, \{C_T\}, \varepsilon) \\ A(k, \{C_T\}, \varepsilon) \end{bmatrix} = 2 \begin{bmatrix} V^{\nu\mu} [d(\{C_T\}, \varepsilon), \varepsilon] \\ A [d(\{C_T\}, \varepsilon), \varepsilon] \end{bmatrix} \cos\{kd[\{C_T\}, \varepsilon]\}. \quad (7)$$

Из (6) следует, что закон дисперсии  $\Omega(k, \{C_C, C_T\}, \varepsilon)$  поляритонных возбуждений в искомой неидеальной системе определяется частотными характеристиками как резонаторной, так и атомарной подсистем, а также и явным видом выражений  $A(k, \{C_T\}, \varepsilon)$  и  $V^{\nu\mu}(k, \{C_T\}, \varepsilon)$ . В дальнейшем в рамках данной модели зависимость параметров  $A[d(\{C_T\}, \varepsilon), \varepsilon]$  и  $V^{\nu\mu}[d(\{C_T\}, \varepsilon), \varepsilon]$  от степени деформации и концентрации дефектов полагаем (для определенности считаем, что  $a_2(\varepsilon) > a_1(\varepsilon)$ ) следующей:

$$\begin{bmatrix} V^{\nu\mu} [d(\{C_T\}, \varepsilon), \varepsilon] \\ A [d(\{C_T\}, \varepsilon), \varepsilon] \end{bmatrix} = \begin{bmatrix} V^{\nu\mu}(a_1|_{\varepsilon=0}) \\ A(a_1|_{\varepsilon=0}) \end{bmatrix} \exp\left[-\frac{|d(\{C_T\}, \varepsilon) - a_1(\varepsilon)|}{a_1(\varepsilon)} - \varepsilon\right], \quad (8)$$

где  $a_1|_{\varepsilon=0} \equiv a_1$ ,  $a_2|_{\varepsilon=0} \equiv a_2$ . Величины  $A(a_1)$ ,  $V^{\nu\mu}(a_1)$  характеризуют соответственно перекрытие оптических полей соседних резонаторов и взаимодействие соседних квантовых точек в одномерной идеальной решетке, период которой равен  $a_1$ . Именно такая цепочка микропор выбрана в качестве базовой при вариации расстояний между ними.

Численный расчет соответствующих величин выполнен для конкретных модельных значений частот резонансных фотонных мод, локализованных в резонаторах с собственной частотой  $\omega^{ph} = 2\pi \cdot 387.5T \text{ Hz} \approx 2434 \cdot 10^{12} \text{ Hz}$ . Квантовые точки характеризуются частотами возбуждения  $\omega_1^{at} = 2\pi \cdot 191T \text{ Hz} \approx 1200 \cdot 10^{12} \text{ Hz}$  и  $\omega_2^{at} = 2\pi \cdot 202T \text{ Hz} \approx 1269 \cdot 10^{12} \text{ Hz}$ . Значения параметров  $A(a_1)$ ,  $V^{\nu\mu}(a_1)$  считаем равными:  $A/2\hbar = 8 \cdot 10^{13} \text{ Hz}$ ,  $V^{11}/2\hbar = 1 \cdot 10^{13} \text{ Hz}$ ,  $V^{22}/\hbar = 3 \cdot 10^{13} \text{ Hz}$ , причем полагаем, что  $V^{12} \approx V^{21} = 6 \cdot 10^{13} \text{ Hz}$ ,  $g^{(1)}/\hbar = 5 \cdot 10^{12} \text{ Hz}$ ,  $g^{(2)}/\hbar = 1.5 \cdot 10^{12} \text{ Hz}$ . Периоды решетки равны  $a_1 = 3 \cdot 10^{-6} \text{ m}$  и  $a_2 = 7 \cdot 10^{-6} \text{ m}$ . В рамках используемого приближения величина резонансного взаимодействия квантовой точки в соответствующем узле решетки с локализованным в данном узле электромагнитным полем от параметра  $\varepsilon$  деформации не зависит. Поверхности, описывающие дисперсионную зависимость частот  $\Omega_{\pm}(k, C_C, C_T)$  исследуемых коллективных возбуждений в неидеальной решетке микрорезонаторов, представлены на рис. 1 при соответствующих значениях концентраций  $C_C$ ,  $C_T$ . При этом надо иметь ввиду, что  $k$  изменяется в пределах  $-\frac{\pi}{a_2(\varepsilon) + C_T[a_1(\varepsilon) - a_2(\varepsilon)]} \leq k \leq +\frac{\pi}{a_2(\varepsilon) + C_T[a_1(\varepsilon) - a_2(\varepsilon)]}$  (величина  $C_T$  изменяется от 0 до 1).



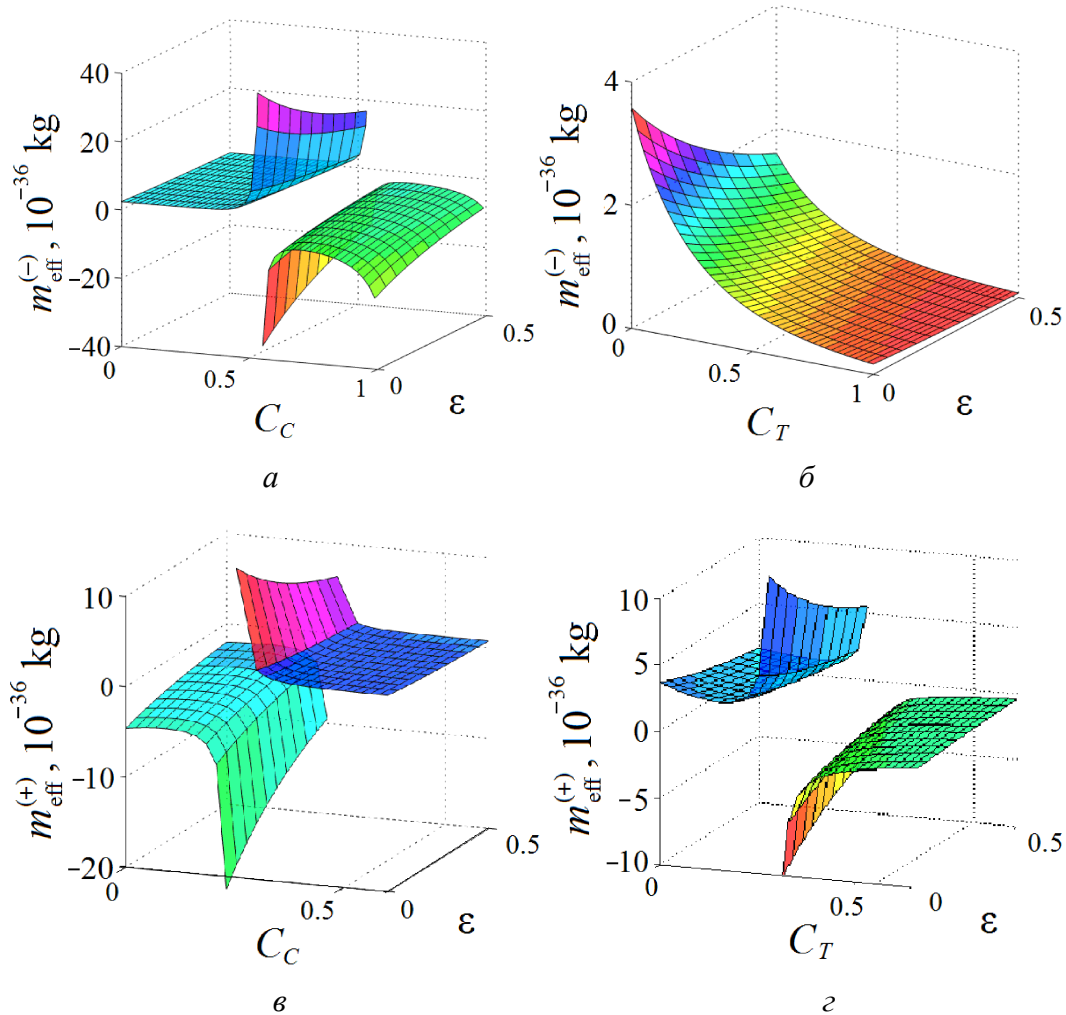
**Рис. 1.** Дисперсионная зависимость частот  $\Omega_{\pm}(k, C_C, C_T)$  исследуемых поляритонных возбуждений в неидеальной 1D-решетке микропор-резонаторов: *a* –  $C_C = 0.2$ ,  $C_T = 0.1$ ; *б* –  $C_C = 0.5$ ,  $C_T = 0.1$

Важным свойством фотонных структур с запрещенной зоной является возможность получения так называемого «медленного» света [1]. Этот эффект имеет большие перспективы применения при создании устройств квантовой обработки оптической информации. В частности, эффективное уменьшение групповой скорости квазичастиц продемонстрировано в связанных волноводных оптических резонаторах [15], различных типах твердотельных многослойных полупроводниковых структур [2]. Ключевую роль в уменьшении групповой скорости в подобных системах играет характер зависимости эффективной массы  $m_{\text{eff}}^{(\pm)}$  электромагнитных возбуждений от степени деформации и концентрации соответствующих дефектов структуры исследуемой системы:

$$m_{\text{eff}}^{(\pm)}(\varepsilon, C_C, C_T) \equiv \hbar \left( \frac{\partial^2 \Omega_{\pm}(\varepsilon, k, C_C, C_T)}{\partial k^2} \Big|_{k=0} \right)^{-1}. \quad (9)$$

Анализ графиков функции  $m_{\text{eff}}^{(\pm)}(\varepsilon, C_C, C_T)$  (рис. 2) показывает, что выбор конкретного диапазона величин  $\varepsilon$ ,  $C_C$ ,  $C_T$ , характеризующих соответствующую величину деформации и дефектности структуры, позволяет достичь необходимых параметров «медленного» света.

Немонотонный характер концентрационной зависимости эффективной массы исследуемых квазичастиц  $m_{\text{eff}}^{(\pm)}(\varepsilon, C_C, C_T)$  отражает особенности поляритонного спектра  $\Omega_{\pm}(\varepsilon, k, C_C, C_T)$  таких неидеальных систем и, следовательно, дает дополнительный механизм управления групповой скоростью оптических волновых пакетов в изучаемой неидеальной структуре.

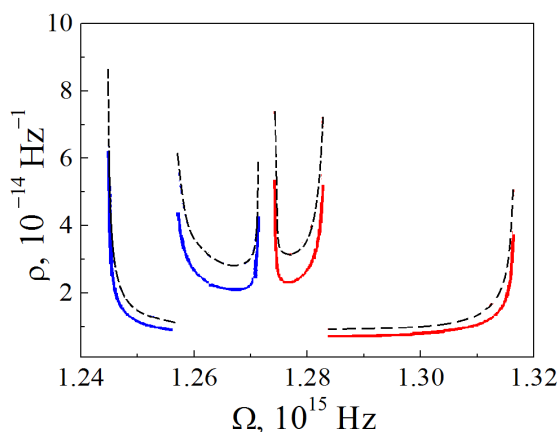


**Рис. 2.** Концентрационные зависимости эффективных масс  $m_{\text{eff}}^{(-)}$  (а, б) и  $m_{\text{eff}}^{(+)}$  (в, з) исследуемых квазичастиц в условиях  $\varepsilon = 0-0.5$  от величины деформации и дефектности структуры: а –  $C_T = 0.1$ , б –  $C_C = 0.2$ , в –  $C_T = 0.2$ , з –  $C_C = 0.3$

Значительный интерес представляет проявление особенностей спектра исследуемых квазичастиц в их плотности состояний  $\rho(\Omega, C_C, C_T)$ . Применительно к случаю неидеальной одномерной системы микрорезонаторов выражение для функции  $\rho(\Omega, C_C, C_T)$  имеет вид

$$\rho_{\pm}(\Omega, \varepsilon, C_T) = \frac{d(C_T)}{2\pi} \int \delta[\Omega_{\pm}(k, \varepsilon, C_T) - \Omega] dk. \quad (10)$$

Интегрирование в (10) проводится в пределах первой зоны Бриллюэна. На рис. 3 представлена концентрационная зависимость плотности состояний исследуемых электромагнитных возбуждений в верхней  $\rho_+(\Omega)$  и нижней  $\rho_-(\Omega)$  поляритонных зонах.



**Рис. 3.** Концентрационная зависимость плотности состояний в верхней  $\rho_+$  и нижней  $\rho_-$  поляритонных зонах для значений концентраций  $C_C = 0$ ,  $C_T = 0.4$  при  $\varepsilon = 0$  (---) и  $\varepsilon = 0.4$  (—)

Следует отметить, что область определения функции плотности состояний  $\rho(\Omega, \varepsilon, C_T)$  вдоль оси  $\Omega$  зависит от концентрации  $C_T$ , благодаря концентрационной зависимости периода  $d(\{C_T\})$  решетки «виртуального» кристалла (а следовательно, и границы зоны Бриллюэна). Хорошо видно, что функция  $\rho(\Omega, \varepsilon, C_T)$  имеет сингулярности лишь на краях частотного интервала, как и в [16] для фононного спектра одномерных структур.

### Заключение

Выполненное в работе изучение зависимости параметров спектра элементарных возбуждений бинарной неидеальной 1D-решетки связанных микропор показывает, что в результате упругих деформаций исследуемой системы можно добиться необходимого изменения энергетической структуры электромагнитных возбуждений и, следовательно, оптических свойств системы, обусловленных перестройкой электромагнитного спектра. Этот вывод проиллюстрирован на конкретном примере 1D-решетки микрорезонаторов, содержащих квантовые точки, в условиях однородной деформации. В частности, наличие деформации и дефектов структуры системы может приводить к увеличению эффективной массы соответствующих электромагнитных возбуждений и уменьшению их групповой скорости (по сравнению с идеальным фотонным кристаллом). Представленные результаты численного моделирования позволяют расширить возможности создания нового класса функциональных материалов – фотонных кристаллических систем (цепочек микропор), позволяющих контролировать распространение электромагнитных возбуждений в таких композитных структурах, находящихся под внешним воздействием.

1. *P.W. Milonni*, Fast Light, Slow Light and Left-Handed Light, Institute of Physics Publishing, Bristol (2005).
2. *A.V. Turukhin, V.S. Sudarshanam, M.S. Shahriar, J.A. Musser, B.S. Ham, P.R. Hemmer*, Phys. Rev. Lett. **88**, 023602 (2002).
3. *M.A. Kaliteevskii*, Tech. Phys. Lett. **23**, 120 (1997).



4. K.J. Vahala, Nature **424**, 839 (2003).
5. V.V. Romyantsev, S.A. Fedorov, K.V. Gumennyk, M.V. Proskurenko, Physica **B442**, 57 (2014).
6. V.V. Romyantsev, S.A. Fedorov, K.V. Gumennyk, M.V. Sychanova, A.V. Kavokin, Nature. Sci. Rep. **4**, 6945 (2014).
7. V.V. Romyantsev, S.A. Fedorov, K.V. Gumennyk, M.V. Sychanova, A.V. Kavokin, Superlattices and Microstructures **89**, 409 (2016).
8. S.V. Dmitriev, Y.A. Baimova, Tech. Phys. Lett. **37**, 451 (2011).
9. E.S. Sedov, A.P. Alodjants, S.M. Arakelian, Y.Y. Lin, R.-K. Lee, Phys. Rev. **A84**, 013813 (2011).
10. В.М. Агранович, Теория экситонов, Наука, Москва (1968).
11. В.В. Румянцев, С.А. Федоров, К.В. Гуменник, А.Г. Петренко, Вестник Луганского национального университета им. В. Даля № 2(4), ч. 1, 88 (2017).
12. V.V. Romyantsev, S.A. Fedorov, K.V. Gumennyk, Low Temperature Physics **42**, 447 (2016).
13. J.M. Ziman, Models of disorder: The theoretical physics of homogeneously disordered systems, Cambridge University Press, Cambridge (1979).
14. V.F. Los', Theor. Math. Phys. **73**, 1076 (1987); DOI: 10.1007/BF01022966.
15. Z.S. Yang, N.H. Kwong, R. Binder, A.L. Smirl, J. Opt. Soc. Am. **B22**, 2144 (2005).
16. А.М. Косевич, Физическая механика реальных кристаллов, Наукова думка, Киев (1981).

V.V. Romyantsev, S.A. Fedorov, K.V. Gumennyk, D.A. Gurov

## SPECTRUM OF ELECTROMAGNETIC EXCITATIONS IN A NONIDEAL CHAIN OF MICROPORES UNDER HOMOGENEOUS ELASTIC DEFORMATION

The spectrum of electromagnetic excitations in a micropores chain is studied. It is shown that, as a result of homogeneous elastic deformations of a nonideal 1D micropores lattice containing quantum dots, it is possible to achieve the necessary change in the energy structure of the spectrum of elementary excitations of the system.

**Keywords:** 1D micropore-resonator array, electromagnetic excitations, quantum dots, homogeneous deformation

**Fig. 1.** The dispersion dependence of the frequencies  $\Omega_{\pm}(k, C_C, C_T)$  of the investigated polariton excitations in the nonideal lattice of 1D micropores-resonators:  $a - C_C = 0.2$ ,  $C_T = 0.1$ ;  $\delta - C_C = 0.5$ ,  $C_T = 0.1$

**Fig. 2.** Concentration dependences of the effective mass of quasiparticles under study  $m_{\text{eff}}^{(-)}(a, \delta)$  and  $m_{\text{eff}}^{(+)}(\vartheta, \zeta)$  at  $\varepsilon = 0-0.5$  with respect to the strain and structure imperfection:  $a - C_T = 0.1$ ,  $\delta - C_C = 0.2$ ,  $\vartheta - C_T = 0.2$ ,  $\zeta - C_C = 0.3$

**Fig. 3.** Concentration dependence of density of states in the upper  $\rho_+$  and lower polariton zones for the values of concentrations  $C_C = 0$ ,  $C_T = 0.4$  at  $\varepsilon = 0$  (---) and  $\varepsilon = 0.4$  (—)